

3 点プレテンションアンカーされた水中ブイの運動

本間 仁*・荻原 国宏**・江森 坦也***

1. はじめに

水中にプレテンションアンカーされた球の3点アンカーの場合の運動は、1点、2点アンカーの場合に異なり、波の進行方向の運動のみでなく、直角方向の運動、回転運動を考慮することが必要である。

そこで、まずアンカーロープの伸びと運動との関係をここではベクトルおよびマトリックスの扱いを利用することによって一般的な3点アンカーロープの関係式を求めた。このような扱いをすれば、アンカーの方法が複雑になっても比較的簡単に解を求めることがわかった。

実験では、別紙報告の本研究室で開発したモアレ繩の原理を利用した方法で、球の3次元の運動を8mm撮影し、この関係式を用いて、球の中心の座標および回転を求めた。また、アンカーロープの張力の変動もばね装置で同時に測定した。

2. 運動を支配する条件

(1) 3 点アンカーロープの拘束条件

図-1 のような次元空間でのアンカーロープのなす座標関係をベクトル表示すると

$$\left. \begin{array}{ll} \text{OA, } \mathbf{r}_1=(a_1, b_1, c_1) & \text{AD, } \mathbf{l}_1=(d_1, l_1, f_1) \\ \text{OB, } \mathbf{r}_2=(a_2, b_2, c_2) & \text{BE, } \mathbf{l}_2=(d_2, l_2, f_2) \\ \text{OC, } \mathbf{r}_3=(a_3, b_3, c_3) & \text{CF, } \mathbf{l}_3=(d_3, l_3, f_3) \end{array} \right\} \quad (1)$$

このとき

$$\left. \begin{array}{l} \mathbf{r}_1 \cdot \mathbf{r}_1 = \mathbf{r}_2 \cdot \mathbf{r}_2 = \mathbf{r}_3 \cdot \mathbf{r}_3 = r^2 \\ \mathbf{l}_1 \cdot \mathbf{l}_1 = l_1^2, \quad \mathbf{l}_2 \cdot \mathbf{l}_2 = l_2^2, \quad \mathbf{l}_3 \cdot \mathbf{l}_3 = l_3^2 \end{array} \right\} \cdots (1')$$

である。ただしこの場合は球として考えている。一般的な場合は r の条件が異なってくる。

いま球の中心が 0 より $0'$ に移動し、 A, B, C の各点も A', B', C' に移動したとし、このとき球が、 x, y, z の各軸のまわりに $\theta_x, \theta_y, \theta_z$ の回転をしたとする。それぞれを、次のようなベクトルと表示する。

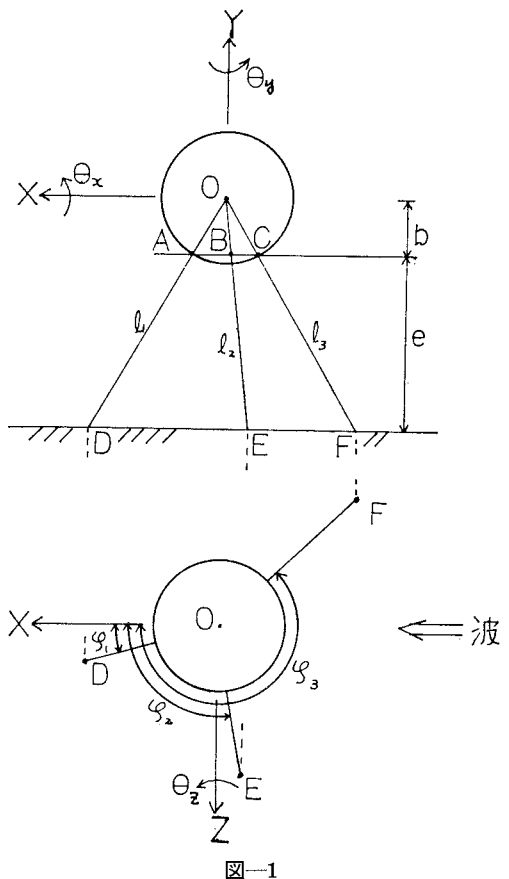


图 1

$$\left. \begin{array}{l} OO', \quad x=(x_1, y_1, z_1), \quad AA', \quad x_1=(x_1, y_1, z_1) \\ BB', \quad x_2=(x_2, y_2, z_2), \quad CC', \quad x_3=(x_3, y_3, z_3) \\ O'A'=r'_1, \quad O'B'=r'_2, \quad O'C'=r'_3 \end{array} \right\} \dots \dots \dots \quad (2)$$

次に最初 $\mathbf{r}=(a, b, c)$ の位置にあったベクトルが、それぞれ軸のまわりに反時計方向に $\theta_x, \theta_y, \theta_z$ だけ回転したときのベクトル \mathbf{r}' は

$$\mathbf{r}'_i = \begin{pmatrix} 1 & -\theta_z & \theta_y \\ \theta_z & 1 & -\theta_x \\ -\theta_y & \theta_x & 1 \end{pmatrix} \begin{pmatrix} a_i \\ b_i \\ c_i \end{pmatrix}, \quad \mathbf{r}'_i = \boldsymbol{\theta} \cdot \mathbf{r}_i$$

i=1, 2, 3 (3)

この式の最初のマトリックスを Θ で示そう。ただしこ

* 正会員 工博 東洋大学教授 工学部土木工学科
** 正会員 工博 東洋大学助教授 工学部工木工学科
*** 学生会員 東洋大学大学院学生

れば、

$$\begin{pmatrix} \tilde{a}_i \\ \tilde{b}_i \\ \tilde{c}_i \end{pmatrix} = \begin{pmatrix} x \\ y \\ z \end{pmatrix} + \begin{pmatrix} 1 & -\theta_z & \theta_y \\ \theta_z & 1 & -\theta_x \\ -\theta_y & \theta_x & 1 \end{pmatrix} \begin{pmatrix} a_i \\ b_i \\ c_i \end{pmatrix} \quad \dots \dots \dots (28)$$

この式の中で $a_i, b_i, c_i, \tilde{a}_i, \tilde{b}_i, \tilde{c}_i$ は既知であり、 $x, y, z, \theta_x, \theta_y, \theta_z$ が未知である。したがって式(28)の連立方程式をとけばよいことになる。

式(28)を書きなおすと

$$\left. \begin{array}{l} x \\ y \\ z \end{array} \right. \begin{array}{l} \theta_y c_i - \theta_z b_i = \tilde{a}_i - a_i \\ -\theta_x c_i + \theta_z a_i = \tilde{b}_i - b_i \\ \theta_x b_i - \theta_y a_i = \tilde{c}_i - c_i \end{array} \right\} \dots \dots \dots (29)$$

未知数が6個であるので、 i は2点あれば式(29)を使うことによって求めることができる。本実験では3点のマーカーをつけて、マーカーの組合せによって、3回 $x, y, z, \theta_x, \theta_y, \theta_z$ を求めて、3回平均値を求めた。

この球の中心の座標および回転変形を8mmフィルムの各コマごとに求め、時間の経過との関係を求めた。

(4) 実験結果

張力の測定結果を図-4に示してある。このグラフは

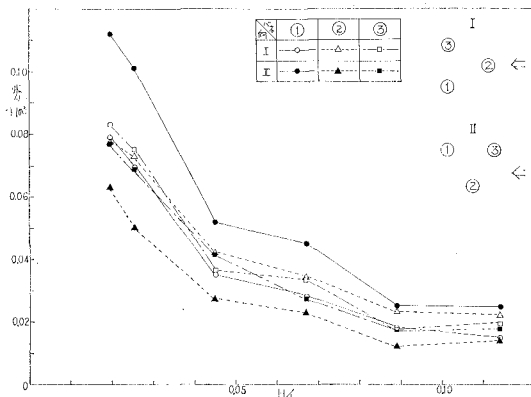


図-4

波形勾配と張力を角周波数 σ の自乗と、波高 H で割ったものとの関係で示してある。I, II はグラフの中に入れてあるごとく波の進入方向に対するアンカーの向きを示している。I型については、3点にあまり差がない、II型では①が卓越している。

球の運動の測定は、モアレ縞の原理を利用し、球の表面につけたマーカーの座標を求め、式(29)に代入し、球の中心での運動および回転を求めた。さらに、あらかじめ求めておいたバネ定数と式(14), (17)を用いて、張力を求めた。

この作業を8mmフィルムの各コマごとに行い、時間の経過との関係を求め、それをフーリエ級数に展開し、各係数を求め、各周期成分の振幅を求めた。この計算を

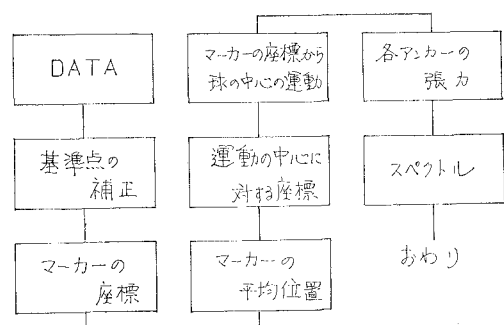


図-5

電算機で行った。この作業図を図-5に示す。

周期と振幅の関係を図-6に示す。これは、波が周期1.05秒、波高10.5cmの場合である。移動はこの図ではI, IIの差がないが、全体としてはIが大きくなっている。回転は全体に相当Iが大きくなっている。張力も同様である。

張力の測定値と計算値を比較すると、計算値が相当大きくなつたが、これは計算に用いた、 φ, φ_i が静止状態

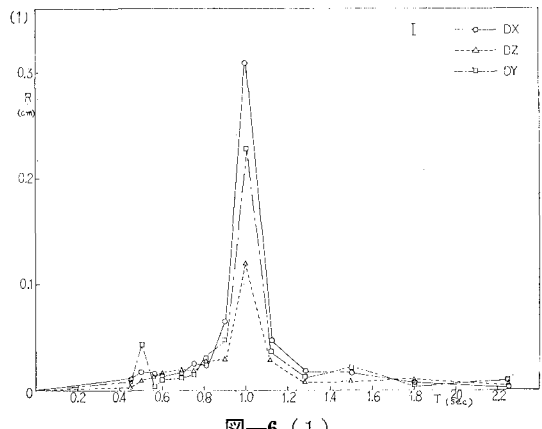


図-6 (1)

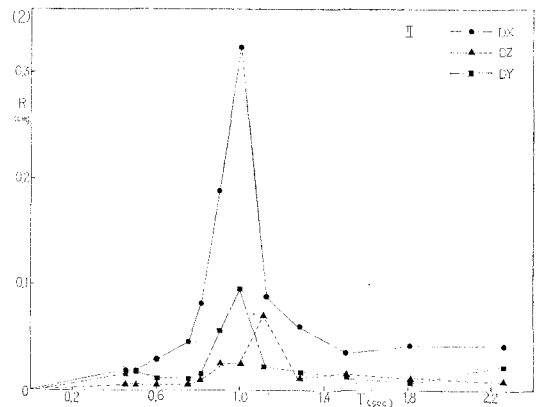


図-6 (2)

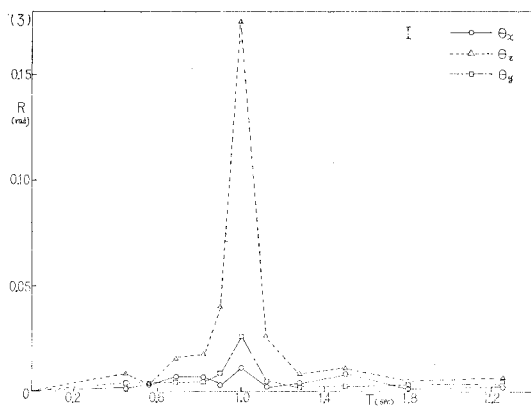


図-6(3)

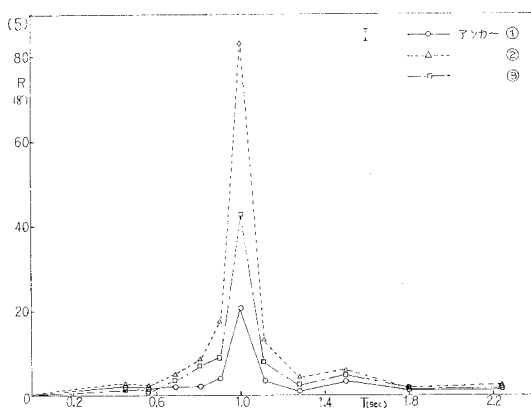


図-6(5)

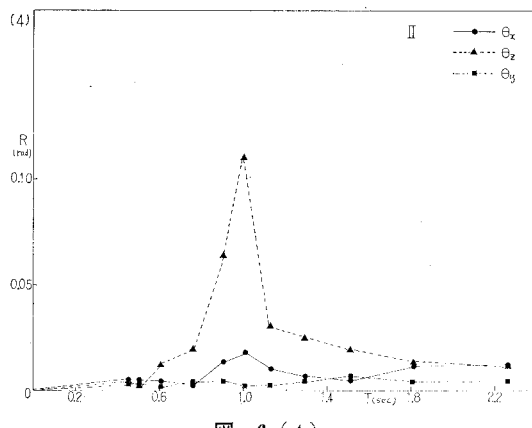


図-6(4)

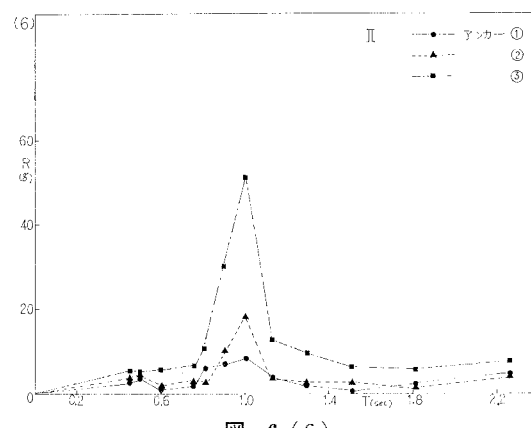


図-6(6)

のものであり、また実際の運動は、ある程度、球が流された点での振動であるからではないかと思われる。

4. おわりに

モアレ縞を利用した運動の測定方法についてのデーター整理は、資料が非常に多く、コンピューター処理をするにしても、相当時間がかかるが、さらに追加実験を行い、完全なものとしたい。

参考文献

- 1) 萩原国宏・江森坦也: プレテンションアンカーされた海洋構造物の運動について、東洋大学工学部研究報告、昭49年。